

エネルギー弁別を利用したX線透過による材質識別

電子工学研究所 青木 徹

X線透過撮像やCT撮像にX線光子のエネルギースペクトルを用いる手法で、透過像の形状情報に加えて透過してきた材質の情報を得ることを可能としている。CTシステムであれば物理的に正確に、透過像システムでは荒く材質識別が可能である。

X線イメージングの利用



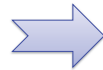
医療分野



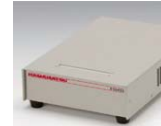
産業分野(1)



セキュリティ(2)



エネルギー情報の利用



エネルギー弁別型フロンカウンティング64ch CdTe放射線ラインセンサー



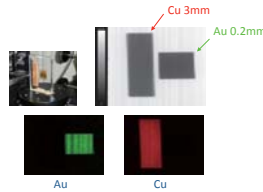
マイクロフォーカスX線源

既存の撮像システムの検出器を取り換えるだけで材料識別画像が取得可能(目標)。

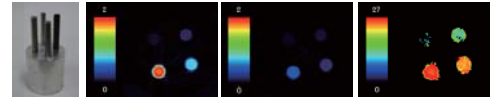
フォトンカウンティングX線CT装置



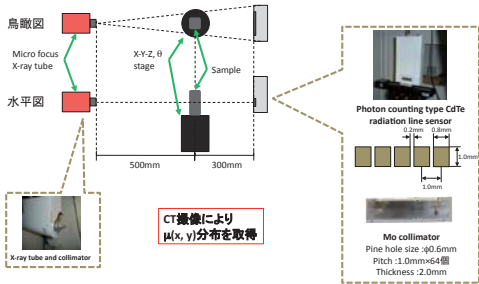
金(Au)と銅(Cu)の識別



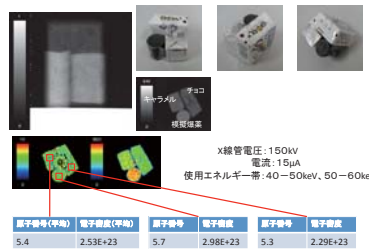
複数の金属の原子番号(6~22)識別



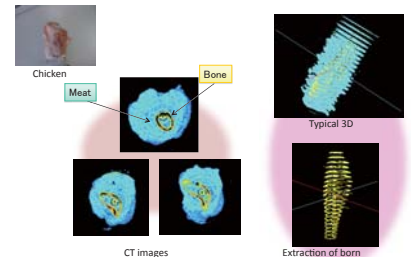
Sample	C	Mg	Al	Ti
Z実測値	6.18	11.7	12.7	21.7
Z理論値	6	12	13	22



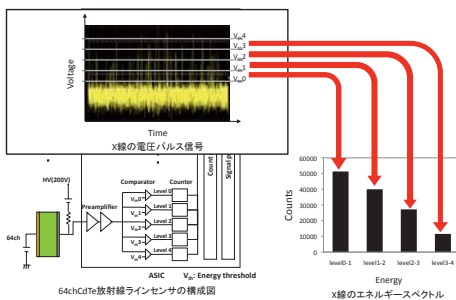
食品と模擬爆弾の弁別



材料識別による三次元像の抽出



フォトンカウンティングによるエネルギー弁別の原理



上記の研究成果は、室温動作CdTe-X線検出器、ラインセンサー、CTシステム、関連ソフトウェアなどに渡る基礎研究成果です。ご興味があれば下記までご連絡ください。

その他、下記の大型プロジェクトにおいて連携を考えています。

- JST学発ベンチャー創成事業：デジタルフォトンカウンティングX線イメージャーの研究開発・および事業化を進めています。以下連携希望項目です。
- ・少数センサーを用いたエネルギースペクトル応用(製品)
 - ・X線エネルギースペクトルイメージング応用

- 知的クラスター創成事業：テラヘルツ波と融合した非破壊検査装置の研究開発・事業化を進めています。以下連携希望項目です。
- ・CT技術の高精度計測化
 - ・連続処理型CTとその応用

これらの大型プロジェクトは一部共同研究が行われているものもありますので詳しくはご相談ください。

keyword: X線、材料識別、高コントラスト、低被曝、エネルギースペクトル、フォトンカウンティング

Sequential multi sliced X-ray CT by using vertical projection for high speed CT.

Ayumu Hashimoto Yukino Imura Hisahi Morii Yoichiro Neo Hidenori Mimura and Toru Aoki
 Research Institute of Electronics, Shizuoka University, 3-5-1 Johoku,
 Hamamatsu 432-8011 Japan

Introduction

Motivation

To do high speed sequential multi sliced X-ray CT, we propose X-ray CT by using vertical projection without revolving system of X-ray sources and detectors. In addition we use Filter Back Projection(FBP) as reconstruction method, because of that it can obtain energy spectra and be used for material discrimination.

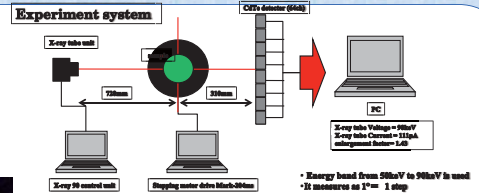
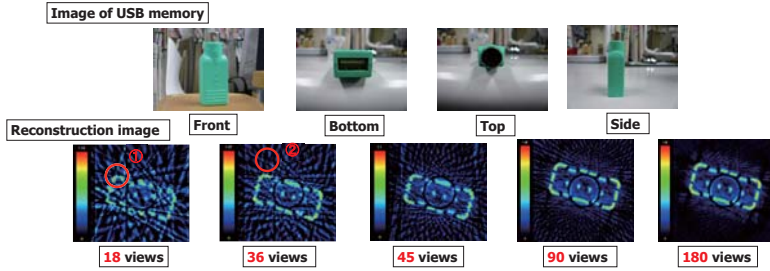
Purpose of Research

To remove revolving system, only projection data from 8 views are used for reconstructing, but obtained image is poor compared with reconstructing image of usual X-ray CT. In order to reconstruct a high quality image from 8 projection data, we suggested that not only horizontal projection and also vertical projection are used to add more information to reconstruct. In this research we improve reconstruction method and images.

Problem of reconstruction by projection data from 8 views.

- ① Improving reconstructing image by using vertical projection.
- ② Estimation of effect of simultaneous projections on detectors.
- ③ Estimation of atomic number from few views by using material discrimination formula.

Change of reconstructing image by the number of views

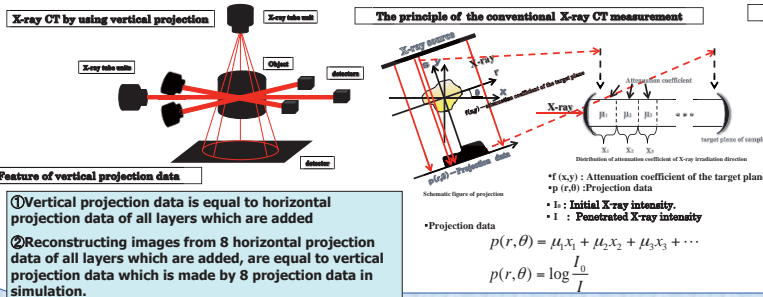


These pictures show image deterioration and it depends on views. It is considered two kinds of deterioration.

Kind of deterioration

- ① The shape deterioration.
- ② Image deterioration from noise of reconstructing method by few views.

Proposal of using vertical projection for reconstructing a high quality image



purpose

To improve a reconstructing image and get atomic number from it, moreover removing noise without deterioration of CT value is needed. From the result of "Change of reconstructing image from the number of views", to estimate amount of change from a reconstructing image by 8 views to by 360 view is possible and it can get a high quality image from a reconstructing image from 8 projections. Therefore, we use features ① and ② to get that and improve that.

Experiment result

Experiment system

X-ray tube unit, CDTs detector (64ch), X-ray 90 control unit, Stepping motor drive Mark-204mm, PC.

X-ray tube Voltage = 150kV
X-ray tube Current = 30µA
enlargement factor = 1.6

Energy band from 50keV to 90keV

Sample data

Front, Top, Side views of Aluminum sample.

Operational Amplifier
Model: LN 386N-1
Height: 4mm
Width: 10mm
Depth: 7mm

Experiment result

Reconstructing image from 8 views	Recovering image	Reconstructing image from 360 views

Height from bottom: 4mm, 3mm, 2mm, 1mm

This is the best image by this experiment

Formula that is proposed by Jackson and Hakos

$$Z^4 = \frac{\mu(E_2)G(E_1, Z) - \mu(E_1)G(E_2, Z)}{\mu(E_1)F(E_2, Z) - \mu(E_2)F(E_1, Z)}$$

Z : atomic number of a material
 $F(E, Z)$: Factor of photo electric term of the linear attenuation coefficient
 $G(E, Z)$: Factor of scattering term of the same
 $\mu(E_1)$: attenuation coefficient at E1
 $\mu(E_2)$: attenuation coefficient at E2

Sample data

Al(13) Measurement area

8 views, 16 views, 32 views, 64 views

X-ray tube Voltage = 150 KeV
X-ray tube Current = 30 µA
enlargement factor = 1.6
 $\mu(E1)$: attenuation coefficient at 45 Kev
 $\mu(E2)$: attenuation coefficient at 65 Kev

Experiment result

Atomic number from a reconstructing image by poor number of views

	8 views	16 views	32 views	64 views
Average	12.96	13.01	13.01	13.01
Max. Count	16.04	16.47	16.47	16.47

Experiment system

X-ray tube unit, CDTs detector (64ch), X-ray 90 control unit, Stepping motor drive Mark-204mm, PC.

X-ray tube Voltage = 150kV
X-ray tube Current = 30µA
enlargement factor = 1.6

Energy band from 50keV to 90keV

Sample data

Carbon sample

Carbon
Atomic number 6
Height: 100mm
Diameter: 15mm

Experiment result

2 simultaneous projections data Compared with 1 projection data

According to this result 2 simultaneous projections data is nearly equal to 1 projection data, because difference between these values are one thousandth compare with 2 simultaneous projections data and 1 projection data. Moreover red line shows that Noise from detector by time fluctuation for 5 seconds and it is not stable. It is more serious for detector.

Conclusion

- To use vertical projection data for a improving reconstructing image is effective but it also still remain some problems.
- The number of views, over 8 views, don't effect about getting effective atomic number of material.
- In 2 simultaneous projections, 1 projection doesn't effect another projection data.



Shizuoka University
 Research Institute of
 Electronics

High Energy Resolution CdTe Schottky Diode γ -Ray Detectors

L.A. Kosyachenko¹, T. Aoki^{2,3}, C.P. Lambropoulos⁴, V.A. Gnatyuk^{2,5},
V.M. Sklyarchuk¹, O.L. Maslyanchuk¹, E.V. Grushko^{1,2}, O.F. Sklyarchuk¹, A. Koike³

¹ Yuriy Fedkovich Chernivtsi National University, Kotsyubynsky Str. 2, Chernivtsi 58012, Ukraine
² Research Institute of Electronics, Shizuoka University, 3-5-1 Johoku, Hamamatsu 432-8011, Japan
³ ANSeeN Inc., 216, Incubation Center, 3-5-1 Johoku, Hamamatsu 432-8561, Japan
⁴ Technological Educational Institute of Chalkida, Psahna, Evia 34400, Greece
⁵ V.E. Lashkaryov Institute of Semiconductor Physics of the National Academy of Sciences of Ukraine, Kyiv 03028, Ukraine

Abstract Schottky diode X/γ -ray detectors based on semi-insulating Cl-doped CdTe crystals produced by Acrorad Co. Ltd. have been developed and investigated. Both the Schottky and ohmic contacts were formed by deposition of Ni electrodes on the opposite faces of (111) oriented CdTe crystals pre-treated by Ar ion bombardment with different parameters. A record-low value of the reverse leakage current in the fabricated Ni/CdTe/Ni Schottky diodes at high voltages (~ 5 nA at 300 K for the area of 10 mm² at bias voltage $V = 1500$ V) was achieved that was caused by the charge transport mechanisms which were interpreted on the basis of known theoretical models. The developed detectors have shown the record high energy resolution in the measurements of the spectra of ¹³⁷Cs and ⁵⁷Co isotopes, (FWHM of 0.42% and 0.49%, respectively). From a comparison of the spectra taken with the detector irradiated from the Schottky contact side and from the opposite side with an ohmic contact, the concentration of uncompensated impurities (defects) in the CdTe crystals has been determined. The obtained value has been found to be close to the optimal one.

Characteristics of CdTe crystals and Ni/CdTe/Ni diodes with a Schottky contact

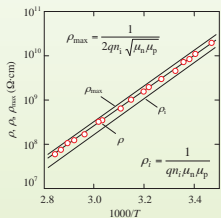


Fig. 1 The temperature dependences of the resistivity of CdTe crystal ρ , the resistivity of the material with intrinsic conductivity ρ_i and the maximum resistivity ρ_{max} .

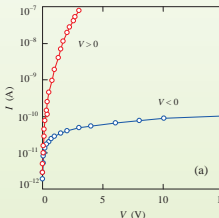


Fig. 2. Room temperature $I-V$ characteristic of the Ni/CdTe/Ni diode structure at low bias voltages (a) and reverse $I-V$ characteristic of the detector in a wide range of voltages (b).

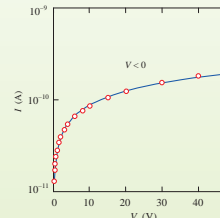
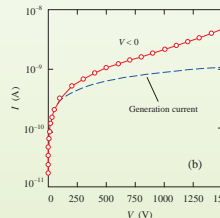


Fig. 3. Comparison of the experimental reverse $I-V$ characteristic of the Ni/CdTe/Ni diode structure (circles) with the calculated results (solid line) according to the Sah-Noyce-Shockley theory ($T = 300$ K).

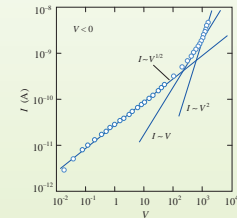


Fig. 4. Reverse $I-V$ characteristic of the Ni/CdTe/Ni diode structure in double logarithmic coordinates. The approximation of the root ($I \sim V^{1.2}$), linear ($I \sim V$) and quadratic ($I \sim V^2$) dependences of the current on bias voltage are shown by straight lines.

Energy resolution and detection efficiency of Ni/CdTe/Ni diode detectors

A. Detector spectrometric characteristics

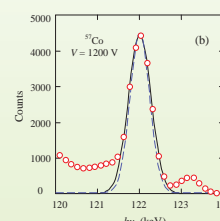
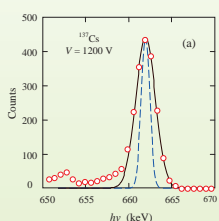
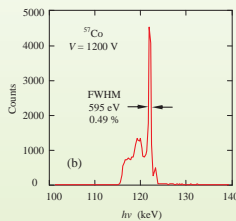
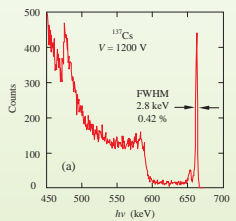


Fig. 6. Comparison of the emission peaks of ¹³⁷Cs and ⁵⁷Co isotopes (circles) with the normal Gaussian distribution (solid lines). The dashed lines show the peak shapes under the condition that resolution of the detector is due only to statistical fluctuations of the number of ionizations by absorbed photons.

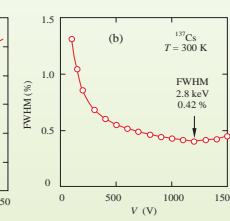
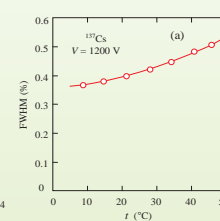


Fig. 7. The effect of temperature (a) and bias voltage applied to the detector (b) on the FWHM in the emission spectrum of a ¹³⁷Cs isotope.

Energy resolution and detection efficiency of Ni/CdTe/Ni diode detectors

A. Detector spectrometric characteristics

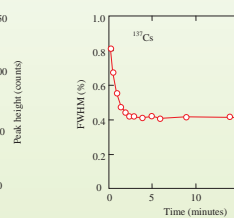
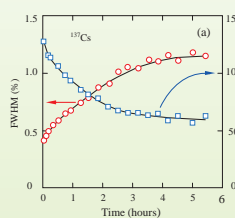


Fig. 8. The time variation of energy resolution and detection efficiency of ¹³⁷Cs isotope radiation during the continuous action of voltage 850 V applied to the Ni/CdTe/Ni detector (a), and recovery of energy resolution after switching off the bias voltage (b).

B. Effect of the SCR depth on detection efficiency

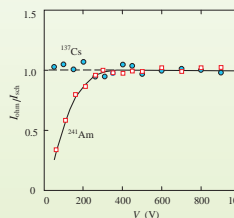


Fig. 9. The ratio of the peak heights in the spectra of ¹³⁷Cs and ²⁴¹Am isotopes, taken under irradiation of the detector from the sides of an ohmic contact and Schottky contact, respectively, depending on the bias voltage applied to the detector.

C. Dependence of detection efficiency on the concentration of uncompensated impurities

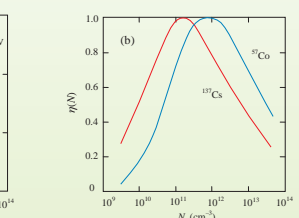
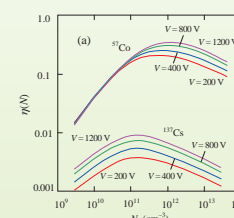


Fig. 10. The calculated dependence of detection efficiency of CdTe crystal with a Schottky contact on the concentration of uncompensated impurities N for the peaks of ¹³⁷Cs and ⁵⁷Co isotopes at different bias voltages V applied to the crystal (a) and the normalized spectra of isotopes at voltage of 400 V (b).

Conclusion The electrical characteristics and X/γ -ray detection efficiency of the Ni/CdTe/Ni Schottky diodes based on chlorine-doped CdTe crystals with nearly intrinsic conductivity are investigated.

- (1) It is shown that the $I-V$ characteristics of the Ni/CdTe/Ni Schottky diode structure with a record-low reverse leakage current at high bias voltages can be quantitatively described in terms of known physical models: the generation-recombination in the spatial charge region, the processes under conditions of strong electric fields and currents limited by space charge.
- (2) The Ni/CdTe/Ni structures have extremely high energy resolution (FWHM of 0.42% and 0.49% for the lines in the spectra of ¹³⁷Cs and ⁵⁷Co isotopes, respectively) the values of FWHM of the lines in the measured spectra are close to the theoretical limit.
- (3) From the ratio of the peak heights in the spectra of a ²⁴¹Am isotope measured under irradiation of the detector from the sides of an ohmic contact and Schottky contact, respectively, the concentration of uncompensated impurities (electrically active defects) $N = 10^{12}$ cm⁻³ in the CdTe crystals has been determined.
- (4) Calculation of the dependence of the detection efficiency on the concentration of uncompensated impurities in the crystals for ⁵⁷Co and ¹³⁷Cs isotopes has been done. The maxima on the $\eta(N)$ curves at N ranging from 2×10^{11} cm⁻³ to 10^{12} cm⁻³ are observed. The value of $N = 10^{12}$ cm⁻³ in the CdTe crystals produced by Acrorad Co. Ltd. is close to the optimum value.

The studies were conducted during the implementation of the Collaborative Project COCAE (SEC-218000) of the Seventh Framework Programme of the European Commission.

Photoluminescence of CdTe(111) Single Crystals after Laser Irradiation

D.V. Gnatyuk
Graduate School of Science and
Technology, Shizuoka University
3-5-1 Johoku Hamamatsu 432-8011, Japan
dimamid@u.u.a

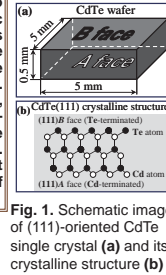
T. Ito, T. Aoki
Research Institute of Electronics,
Shizuoka University
3-5-1 Johoku Hamamatsu 432-8011, Japan
rtaki@ipc.shizuoka.ac.jp

Application of CdTe semiconductor



Low temperature photoluminescence (PL) of high-resistivity detector-grade Cl-compensated CdTe semiconductor crystals subjected to irradiation with nanosecond ($\tau = 7$ ns) laser pulses of the second harmonic ($\lambda = 532$ nm) of a YAG:Nd laser is studied. Irradiation of CdTe crystals within the certain range of laser pulse energy densities results in a relative decrease in the emission intensity in both the deep energy level and edge regions and an increase in the exciton band intensity in the PL spectra. The evolution of the PL spectra depending on laser energy density, excitation level and temperature under excitation are analyzed. Laser-stimulated transformation of the point defect structure of the CdTe surface region and mechanisms of laser-induced defect formation are discussed. The optimal regimes of laser processing have been obtained which result in the minimum ratio of the defect and exciton bands that is an evidence of an increase in the structural perfection of the irradiated crystals.

Experimental procedure



#	Details of applied irradiation
0	Non-irradiated CdTe crystal
1	50 mJ/cm ²
2	75.8 mJ/cm ²
3	101.7 mJ/cm ²
4	146.6 mJ/cm ²

Fig. 1. Schematic image of (111)-oriented CdTe single crystal (a) and its crystalline structure (b).
Tab. 1. Data on the surface treatments of CdTe samples No 1-5.

Results: PL spectra at 80 K

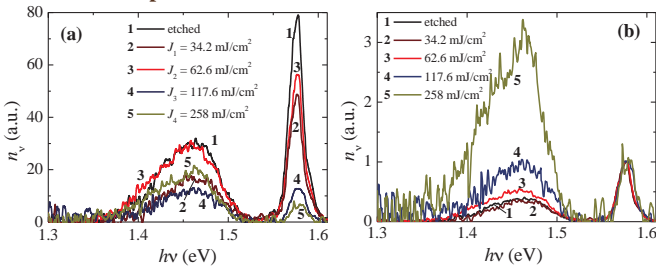


Fig. 2. PL spectra of the CdTe(111) crystals measured from the Te-terminated side at excitation power density $J_{ex} = 4.5$ W/cm² for etched sample (1) and for samples treated by laser pulses of energy densities: $J_1 = 34.2$ mJ/cm² (2), $J_2 = 62.6$ mJ/cm² (3), $J_3 = 117.6$ mJ/cm² (4) and $J_4 = 258$ mJ/cm² (5) (a). The same spectra normalized by the intensity of the PL band at 1.57 eV (b).

PL spectra at 5 K – dependence of irradiation energy

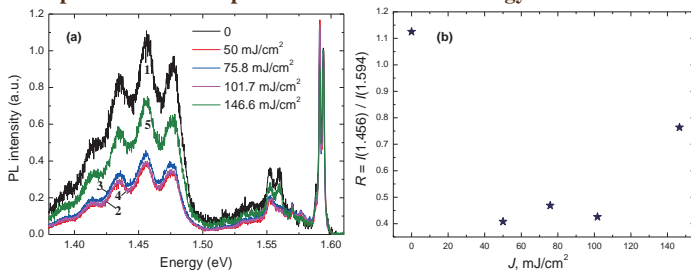


Fig. 4. PL spectra of the CdTe(111) crystals measured from the Te-terminated side at excitation energy $J_{ex} = 150$ mcW for non-irradiated sample (0) and for samples treated by laser pulses of energy densities: $J_1 = 50$ mJ/cm², $J_2 = 75.8$ mJ/cm², $J_3 = 101.7$ mJ/cm² and $J_4 = 146.6$ mJ/cm². The spectra are normalized by the intensity of the intrinsic PL band at 1.59 eV (a). The relative intensity of the bands in different densities (b).

The PL spectra of all investigated CdTe samples can be divided into three regions: (I) the deep level emission region (1.390-1.510 eV), (II) the edge emission region (1.510-1.580 eV), and (III) the exciton emission region (1.580-1.604 eV). These regions are generally associated with defect bands (I), shallow donor-acceptor pair transitions and LO-phonon replicas of the exciton lines (II), and exciton recombination (III), respectively.

The relative redistribution of the band intensities in three regions of the PL spectra, particularly a decrease in the intensity in the deep level and edge regions and increase exciton bands for CdTe crystals subjected to laser treatment with nanosecond pulses of energy density $J \sim 50$ -100 mJ/cm² (Fig. 4) has demonstrated the possibilities of modification of the surface state and improvement of the point defect structure in the surface region of CdTe.

PL spectra at 5 K – dependence of the temperature

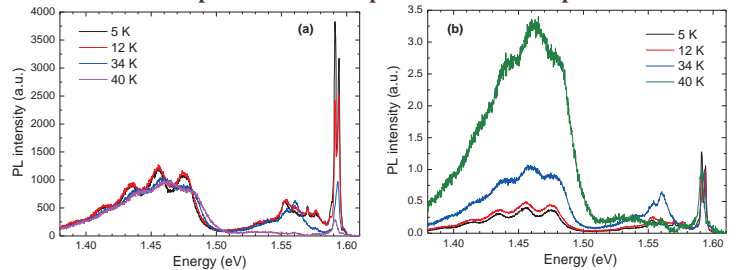


Fig. 3. PL spectra of the CdTe(111) crystals at excitation power density $J_{ex} = 200$ mcW for sample treated by laser pulse of energy density $J = 101.7$ mJ/cm² in dependence of the temperature (a). The spectra are normalized by the intensity of the PL band at 1.59 eV (b).

PL spectra at 5 K – dependence of excitation energy

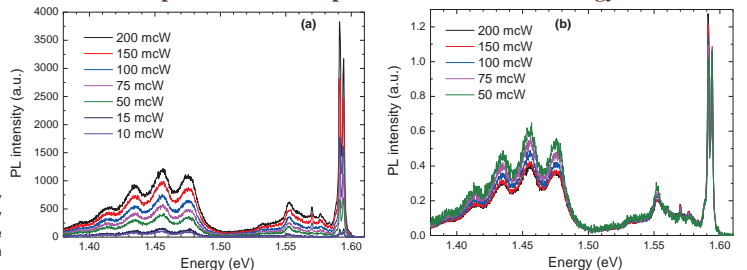


Fig. 5. PL spectra of the CdTe(111) crystal, samples treated by laser pulse of energy density $J_2 = 75.8$ mJ/cm² (a). The same are spectra normalized at 1.59 eV (b).

Summary

The evolution of PL spectra of CdTe(111) crystals subjected to irradiation with nanosecond laser pulses are attributed to transformation of point defect structure of the surface region of the samples. The relative redistribution of the band intensities in three regions of the PL spectra, particularly a decrease in the intensity in the deep level and edge regions and increase exciton band intensity after laser irradiation with the certain energy densities has demonstrated the possibilities to modify the surface state and increase the structural perfection of the surface region of CdTe. Employing irradiation of the second harmonic of a YAG:Nd laser with wavelength longer compared with that of excimer KrF laser radiation used before has allowed us to modify and study thicker surface layer of CdTe the material. On the base of the analysis of the PL spectra obtained at different laser pulse energy densities, excitation levels and temperatures, the optimal regimes of laser processing of CdTe crystals have been developed.

高ダイナミックレンジ光子カウンティングX線イメージャー

小池 昭史・奥之山 隆治・四ノ宮 文二・森井 久史・根尾陽一郎・三村 秀典・青木 徹
静岡大学 電子工学研究所

Background

CdTe光子カウンティングX線ラインセンサ
文部科学省 知的クラスター創成事業により開発



浜松ホトニクス(株)C10413販売中

放射線エネルギー情報の取得が可能

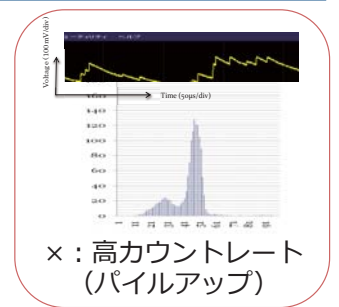
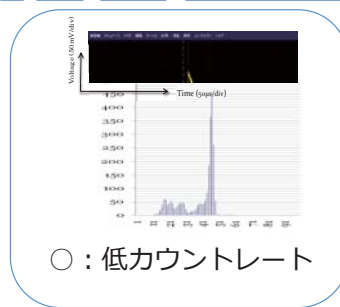
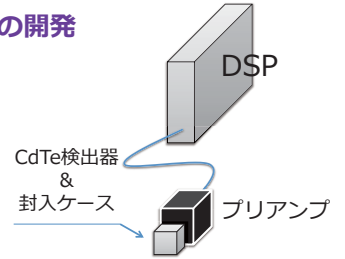
- ✓ 対応エネルギー帯域 : 30keV~1MeV
- ✓ エネルギー分解能 : 20KeV
- ✓ カウントレート : ~30Kcps
(高エネルギー分解能設定時)

実用検査には測定速度(カウントレート)、
エネルギー分解能に大きな課題がある。

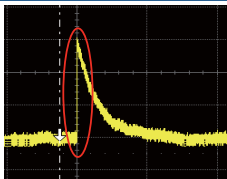
Purpose

高カウントレート対応信号処理の開発

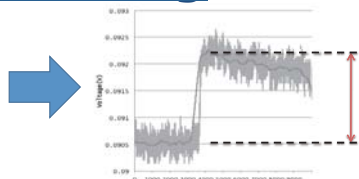
- 高速プリアンプによる信号取得
 - 立ち上がり時間短縮
 - ×出力信号のS/N悪化
- デジタル波形処理装置(DSP)
 - 立ち上がり情報の利用
 - パイルアップ除去
 - ノイズカットフィルタ
- 検出器封入ケース
 - 低ノイズ化



Detection & Filtering



信号取得 & 高速デジタル化



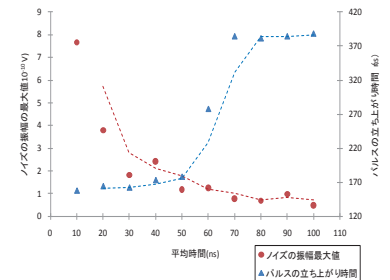
ローパスフィルタリング処理 & パルスハイト取得

正確なパルスハイト(エネルギーに比例)
取得のためにはノイズ除去が必須

ノイズ低減

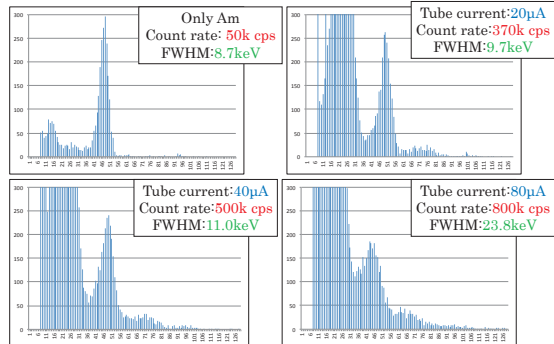
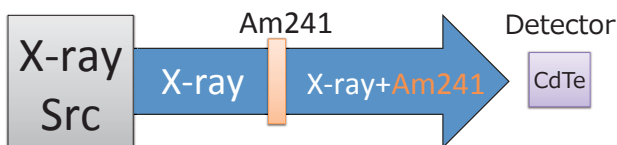
- 従来法
アナログ微分積分処理
(処理速度に問題)
- 本方法
デジタルフィルタ処理

ローパスフィルタ、FFTフィルタ等を検討し、ノイズフィルタ効果とDSPでの実装を考慮し、単純移動平均法を採用

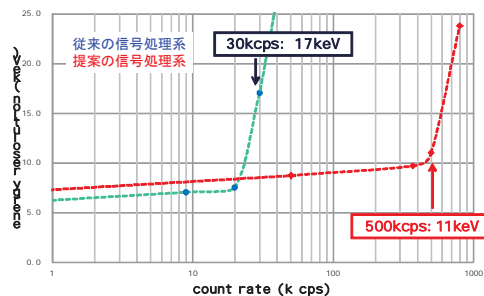


単純移動平均時間の最適化
(ノイズ除去と立ち上がり時間)

High Count-Rate Experiment



パルスハイト方式では高カウントレート
状況においても分解能を維持できた
(~500kcpsまで)



従来型とパルスハイト型信号処理の比較

Conclusions

- ✓フルデジタル処理による高速・高性能パルスカウント処理
- ✓パイルアップ時にも高エネルギー分解能を実現
- ✓実用カウントレートを従来の30kcps→500kcpsへ拡大
- ✓実用的な検査装置への適用が可能
- ✓X線液体危険物検査装置へ応用、

画像センシング展にてデモンストレーション中



CdTe光子カウンティング検出器による高コントラストK-Edge CT

静岡大学電子工学研究所 情報学研究科 安次富寛一、中川央也、真田拓人、三村秀典、青木徹

研究背景

X線は物質の透過性を利用して産業、医療、セキュリティの分野でX線検査やX線CTに活用されている

■物質特定：二つのエネルギー帯域の情報を利用して実効原子番号、電子密度の特定が可能 (Dual energy法)

■X線医療を低線量・低被ばくで実現する要求が高い。

◆CdTe光子カウンティング検出器

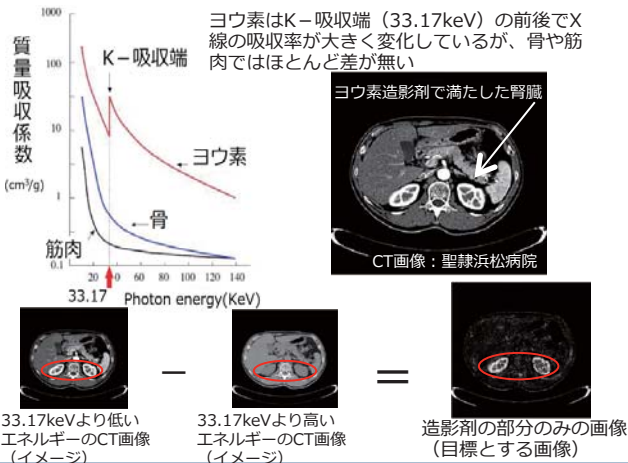
- 半導体 (CdTe) を用い高感度
- 光子カウンティング方式によるエネルギー情報の取得

低被ばく・低線量治療

目的

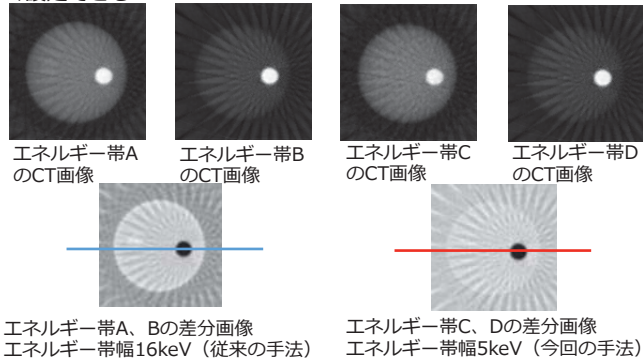
K-Edge CT法におけるエネルギー帯幅の影響の検討

K-Edge CT差分法

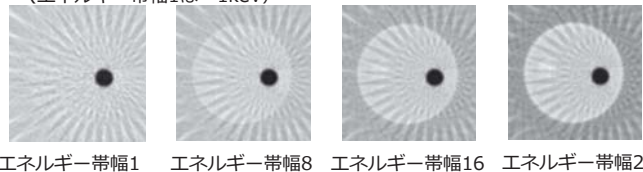


K-Edge CT差分法の高コントラスト化

■データ取得後にヨウ素のK-Edgeの前後のエネルギー帯のCT画像を作成し差分をとる。従来の手法ではエネルギー分解能が低いですが、今回の光子カウンティング方式ではエネルギー帯を細かく設定できる



■使用するエネルギー帯幅による画像の変化 (エネルギー帯幅1は~1keV)



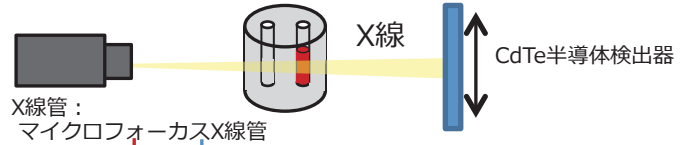
実験手法

①ヨウ素水溶液をアクリルの容器に入れX線CT撮像を行う
ヨウ素水溶液 (30mg/ml)



ファントムのイラスト, ファントムの側面の様子, ファントムの上部の様子

②光子カウンティング方式の半導体検出器を用いてエネルギーと線量のデータを取りCT画像を描画した。



◆CT画像上の赤と青の2本の線上のX線のスペクトルの一部を下グラフに示す。



結果

■エネルギー帯A, BのCT画像の差分画像とC, Dの差分画像では後者の方がよりアクリル部分が排除されヨウ素の部分が強調されていることが確認できる。

■使用するエネルギー帯幅を細くするほどコントラストが高くなり、対象物が抽出された画像を作成できた

まとめ

■半導体光子カウンティング検出器で得られたエネルギー情報を利用して、K-Edge CT差分法において、対象物のみを抽出する画像を得ることができた

■CTに使用するエネルギー帯は細いほど差分画像のコントラストは高くなるが、使用するデータ量は減りCTが不可能になることも考えられる。

フォトンカウンティング技術はガンマ線などの放射線計測では古くから用いられている方法である。X線領域ではX線フォトンのエネルギーと数を検出でき、検出素子や回路などのノイズ成分がエネルギー軸方向へ変換され、カウント数方向(強度軸方向)はノイズレスとなる。また、低線量領域ではフォトンの時間揺らぎが問題となるがCT撮像を用いることで原理的に揺らぎを平均化できる。積算型(従来型計測法)のCdTe検出器と、フォトンカウンティング型のCdTe検出器を用いて、線量を低下したときの影響の違いについて主に考察する。

1. 研究背景・目的

低線量X線撮像は医療現場の低被ばく化に向けて盛んに研究されている。現在、多くは撮像方法と画像再構成の改良によるIR法が研究開発され、一部実用化が始まっている。本論文では、撮像の際の「検出方法」そのものを従来から変えることで、低線量での高い画質の画像を撮像する技術について議論する。

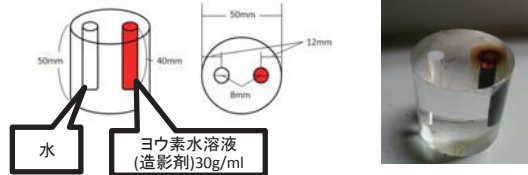
本研究で進めているナノビジョンサイエンスは従来の光子や電子を集団統計的に扱う画像技術から、ナノ領域で個々に取り扱うことで新しい画像科学を構築する学術領域である。本研究は之を駆使して「フォトンカウンティング」イメージングを進め、これによる低被ばくX線イメージングについて研究を行った。



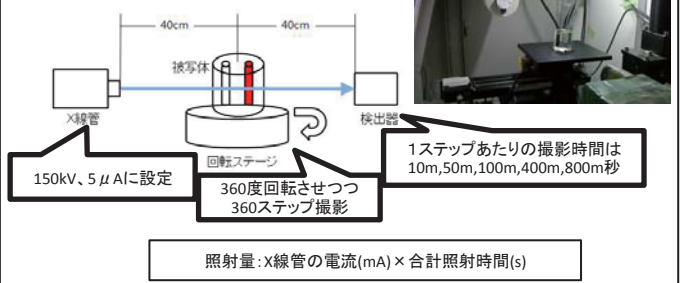
使用機材

被写体	アクリルファントム (下図参照)
X線管	L12161-07 150kV, 0.5mA (浜松ホトニクス)
蓄積型検出器	SCAN300F (AJAT), ANS-FPD試作品 (ANSeeN)
フォトンカウンティング型検出器	X-123CdTe (amptek), ANS-XDS001 (ANSeeN)

[アクリルファントム]



[実験配置図]



[CdTeフォトンカウンティング型検出器]

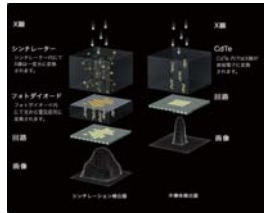
低被ばく放射線計測を実現し得る検出器として本研究グループで研究開発を続けている。

- ・ポイント
- 1. CdTe(カドミウムテルライド)
- 2. フォトンカウンティング

1. CdTe(カドミウムテルライド)

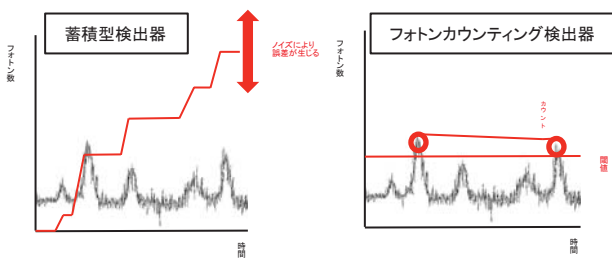
人体を透過しやすい高いエネルギーのX線の吸収が大きく感度の高い検出器である。さらにX線の光子から電荷へ直接変換するため、変換効率が高く、光の拡散による画像ぼけが原理的に生じない、医療向けの画像検出器として有望な検出器材料である。Pin検出器の開発などでさらに高性能化に成功している。

CdTe半導体は従来のシンチレーション検出器と比べて、光の拡散が原理的に生じない



2. フォトンカウンティング

同じCdTeを使用しても蓄積型検出器と比べて、フォトンカウンティング検出器は強度軸方向のノイズの影響を受けずに撮影することができる。一般的なノイズはエネルギー軸方向に加わる。



蓄積型検出器とフォトンカウンティングのノイズの影響の違い(イメージ図)

[透過像撮像での蓄積型とフォトンカウンティング型の比較]

蓄積型	フォトンカウンティング型
X線管出力	X線管出力
・80 kV	・80 kV
・5 mA	・0.05 mA
検出器仕様(社製)	検出器仕様 (ANSeeN XDS-001型)
・シンチレータ	・CdTe(フォトンカウンティング)
・100 μm □ピクセル	・500 μm □ピクセル

2. 実証検討

[方法]

蓄積型検出器とフォトンカウンティング型検出器の両検出器において、減弱係数が人体に近いアクリルファントムをCT撮影して画像を得る。

画像はCT値により描画されているので、アクリルファントムのCT値の理論値を求め、両検出器で撮影された画像と比較して誤差(RMSE)の大きさを確認することで評価を行う。※今回は理論値の代わりに撮影時間が最も長い(800m秒)の画像のCT値を理論値として使用した。

[画像を評価する際の指標]

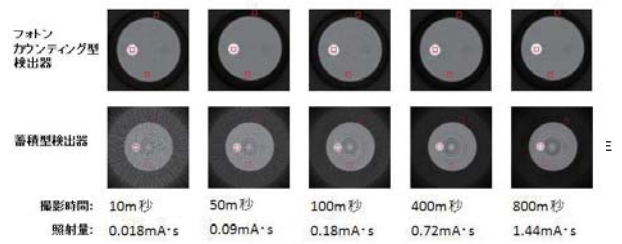
画像の分解能、コントラスト、シグナルノイズ比の中から、今回はシグナルノイズ比に注目して、画像の「二乗平均平方根誤差(RMSE)」を求めた。RMSEは以下の式により求められる。

$$RMSE = \sqrt{\frac{1}{n} \sum_{i=1}^n (x_i - \bar{x})^2}$$

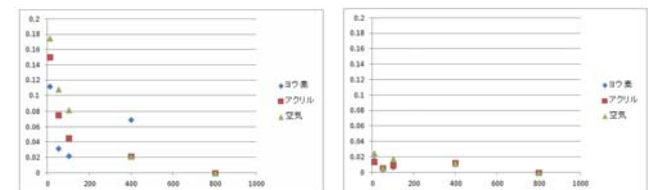
※ \bar{x} = 平均値理論値、 x_i = 実測値、 n = 各部分の要素の数

RMSEは理想とするCT画像のCT値をとるべき理論値としたとき、その値と実測値がどれほど誤差が生じているか示している。よって、0に近いほど実測値と理論値との誤差が小さいことになる。

3. 結果



蓄積型検出器画像のRMSE フォトンカウンティング型検出器画像のRMSE



[考察・結論]

画像の赤枠はRMSEを求める際の実際値として用いた部分で、ヨウ素、アクリル、空気の種類を測定した。また、理論値は800m秒の画像の赤枠部分を検出器別で利用した。800m秒を理想とする画像とした場合、蓄積型の画像は撮影時間が減るにつれてRMSEが増加する一方で、フォトンカウンティング型の画像は撮影時間によるRMSEの増加はほとんどない。さらに低線量においては、フォトン揺らぎにより急激にノイズ増加すると予測されるが今回の範囲では観察されていない。よって、低被ばく放射線検出技術において、フォトンカウンティング型検出器は蓄積型検出器と比べると優位性を持ち、低被ばくであるということが示されたといえる。